

# Время задержки волновых пакетов при их туннелировании через квантовый диод

Н.А.Иванов, В.В.Скалозуб

*С помощью модифицированного метода седловой точки исследован процесс прохождения волнового пакета через квантовый диод. Для исследуемой структуры построена  $S$ -матрица рассеяния. Детально рассмотрен случай туннелирования через диод пакета с гауссовой огибающей. Рассчитаны время задержки и форма прошедшего волнового пакета. Исследована зависимость времени задержки от характеристик входного пакета и внутренних характеристик квантового диода. Обсуждаются возможные приложения полученных результатов.*

**Ключевые слова:** квантовый диод, туннелирование, время задержки волнового пакета.

## 1. Введение

Проблема туннелирования волновых пакетов через открытые квантовые системы с резонансными уровнями является одной из долго не поддававшихся решению задач нанофизики (см., напр., [1–5]). Основная трудность здесь – необходимость учета влияния внутренних характеристик квантовых систем и параметров входного импульса на процесс прохождения сигнала. Поэтому большинство развитых подходов не были универсальными и могли применяться для исследования туннелирования пакета с определенной формой огибающей и узкого класса систем со схожей геометрией. Так, отдельно рассматривалось прохождение через системы с «узкими» и «широкими» резонансными уровнями, т. е. отсутствовал единый подход к описанию задачи.

Вопрос о туннелировании волновых пакетов через квантовые системы с резонансными уровнями является нетривиальной задачей. Это объясняется наличием квантовых и граничных эффектов, связанных с суперпозицией падающих и отраженных волновых функций. Данные эффекты наблюдаются при прохождении сигналов через такие структуры, как двухбарьерные диоды, транзисторы квантового туннелирования и открытые гетероструктуры. Эти системы широко используются в современной микро- и нанoeлектронике. В настоящее время большое количество современных научных исследований посвящено данной тематике. В ряде работ [6–8] нами был развит модифицированный квазиклассический метод, позволяющий в общем виде исследовать аналитически процесс туннелирования волнового пакета через квантовую систему с резонансными уровнями. Подход основан на двух основных идеях: описании параметров системы в терминах входного пакета (тем самым устраняется необходимость

отдельного рассмотрения случаев «узких» и «широких» резонансных уровней) и использовании модифицированного метода перевала. Описание квантовой системы проводится с помощью построения соответствующей матрицы рассеяния  $S$ . Это позволяет ввести безразмерные переменные, отвечающие произвольным квантовым системам и волновым пакетам.

Формализм  $S$ -матрицы широко используется для связи между конечными состояниями системы, возникающими после взаимодействия, и состояниями, предшествующими ему. Матрица рассеяния задается набором уровней (каналов), через которые происходит туннелирование. Она содержит всю информацию о поведении системы, если известны не только численные значения, но и аналитические свойства ее элементов; в частности, ее полюсы, определяют связанные состояния системы (т. е., дискретные уровни энергии). Для расчета матрицы используются методы анализа матричных элементов или теории возмущений.

Полюсы  $S$ -матрицы играют важную роль в процессе туннелирования. Они определяют существование резонансных уровней в рассеивающих структурах. Следовательно, для детального изучения процесса рассеяния необходимо построить соответствующую матрицу рассеяния и задать характеристики входного пакета. Для расчета элементов  $S$ -матрицы может быть использован метод, основанный на решении уравнений Липпмана–Швингера для заданного рассеивающего потенциала [9, 10].

Исходный рассеивающий потенциал представляется в виде суперпозиции невозмущенной и возмущенной частей. После нахождения функции Грина для первой части решение обобщается на случай полного потенциала. Следующим этапом является расчет  $R$ -матрицы и определение элементов матрицы рассеяния с использованием известной формулы для связи между этими матрицами. Данный подход является универсальным и полностью формализует расчет матрицы рассеяния на случай произвольного потенциала.

Существование потенциальных ям с дискретными уровнями энергии – общая черта таких объектов, как квантовые точки, двухбарьерные диоды и транзисторы квантового туннелирования. Предполагается, что подобные структуры имеют резонансную проводимость. Вот

Н.А.Иванов, В.В.Скалозуб. Днепропетровский национальный университет им. Олеся Гончара, Украина, 49010 Днепропетровск, просп. Гагарина, 72; e-mail: rokosovskij@mail.ru, skalozubv@daad-alumni.de

Поступила в редакцию 20 сентября 2013 г., после доработки – 3 марта 2014 г.

почему аналитическое определение времени задержки при прохождении волновых пакетов в системах такого типа является очень важной задачей [5, 11, 12]. В частности, ее решение помогает подобрать такие параметры систем или пакетов, при которых скорость передачи сигнала максимальна. Это указывает пути дальнейшей миниатюризации и увеличения быстродействия микросхем с квантовыми элементами.

В настоящей работе мы применим описанный выше метод для расчета матрицы рассеяния квантового диода, используемого в электронных устройствах, и рассчитаем время задержки при подаче на вход пакета с гауссовой огибающей. Времена задержки для других пакетов могут быть рассчитаны аналогично на основе полученных результатов (например, для случая прямоугольного импульса [7]).

**2. S-матрица для возмущенных потенциалов**

В этом разделе мы приводим всю информацию, необходимую для расчета матрицы рассеяния (полные вклады см. в работе [10]). Здесь и далее ширина уровней выражается в ширинах пакета, время – в длительностях пакета, координаты – в характерных размерах сигнала.

Согласно применяемому подходу, мы разбиваем потенциал системы  $V(z)$  на возмущенную ( $\Delta V(z)$ ) и невозмущенную ( $V_0(z)$ ) части, как показано на рис.1:

$$V(z) = \Delta V(z) + V_0(z). \tag{1}$$

Процесс рассеяния может быть описан стационарным уравнением Шредингера

$$\left[ \frac{\hbar^2}{2m^*} \frac{d^2}{dz^2} - V_0(z) + v \right] \Psi(z, v) = \Delta V(z) \Psi(z, v). \tag{2}$$

Такое неоднородное уравнение может быть решено с использованием функции Грина для невозмущенной части, являющейся решением следующего уравнения:

$$\left[ \frac{\hbar^2}{2m^*} \frac{d^2}{dz^2} - V_0(z) + v \right] \Gamma(z, z', v) = \delta(z - z'). \tag{3}$$

Его решение для волны, движущейся слева ( $z' < 0$ ), имеет вид

$$\Gamma(z, z', v) = \frac{m^*}{ik_L \hbar^2} \left\{ \exp[-ik_L(z - z')] + \frac{k_L - k_R}{k_L + k_R} \exp[-ik_L(z + z')] \right\}, z < z',$$

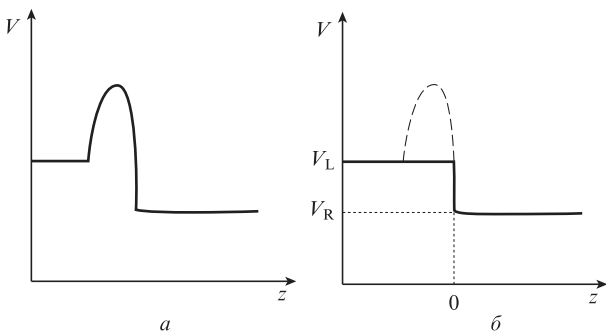


Рис.1. Полный потенциал системы (а) и его представление в виде суммы невозмущенной (сплошная кривая) и возмущенной (штриховая кривая) частей (б).

$$\Gamma(z, z', v) = \frac{m^*}{ik_L \hbar^2} \left\{ \exp[ik_L(z - z')] + \frac{k_L - k_R}{k_L + k_R} \exp[-ik_L(z + z')] \right\}, z' < z < 0, \tag{4}$$

$$\Gamma(z, z', v) = \frac{2m^*}{(ik_L + ik_R) \hbar^2} \exp[i(k_R z - k_L z')], z > 0,$$

а для волны, движущейся справа ( $z' > 0$ ), имеет вид

$$\Gamma(z, z', v) = \frac{2m^*}{(ik_L + ik_R) \hbar^2} \exp[i(k_R z' - k_L z)], z < 0,$$

$$\Gamma(z, z', v) = \frac{m^*}{ik_R \hbar^2} \left\{ \exp[ik_R(z - z')] + \frac{k_R - k_L}{k_L + k_R} \exp[-ik_R(z + z')] \right\}, 0 < z < z', \tag{5}$$

$$\Gamma(z, z', v) = \frac{m^*}{ik_R \hbar^2} \left\{ \exp[ik_R(z - z')] + \frac{k_R - k_L}{k_L + k_R} \exp[ik_R(z + z')] \right\}, z' < z.$$

Для уравнения Шредингера в отсутствие возмущения

$$\left[ -\frac{\hbar^2}{2m^*} \frac{d^2}{dz^2} + V_0(z) - v \right] \Psi_0^{L(R)}(z, v) = 0 \tag{6}$$

получим следующие решения: для волны, распространяющейся справа,

$$\Psi_0^L(z, v) = \exp(ik_L z) + \frac{k_L - k_R}{k_L + k_R} \exp(-ik_L z), z < 0, \tag{7}$$

$$\Psi_0^L(z, v) = \frac{2k_L}{k_L + k_R} \exp(ik_R z), z > 0,$$

а для волны, распространяющейся слева,

$$\Psi_0^R(z, v) = \frac{2k_R}{k_L + k_R} \exp(-ik_L z), z < 0, \tag{8}$$

$$\Psi_0^R(z, v) = \exp(-ik_R z) - \frac{k_L - k_R}{k_L + k_R} \exp(ik_R z), z > 0.$$

Исходное уравнение может быть сведено к эквивалентному интегральному уравнению с использованием функции Грина  $\Gamma(z, z', v)$ :

$$\Psi(z, v) = \Psi_0(z, v) + \int_{-b_L}^{b_R} dz' \Gamma(z, z', v) \Delta V(z') \Psi(z', v), \tag{9}$$

где  $\Psi_0(z, v)$  – решение уравнения Шредингера в отсутствие возмущения. Для  $z < -b_L$  получим

$$\Psi^L(z, v) = A^L(v) \exp(ik_L z) + B^L(v) \exp(-ik_L z), \tag{10}$$

где  $A^L(v) = 1$ ;

$$B^L(v) = \frac{k_L - k_R}{k_L + k_R} + \frac{m^*}{i\hbar^2 k_L} \int_{b_L}^0 dz' \left[ \exp(ik_L z') + \right.$$

$$\begin{aligned}
 & + \frac{k_L - k_R}{k_L + k_R} \exp(-ik_L z') \Big] \Delta V(z') \Psi^L(z', v) \\
 & + \frac{2m^*}{i\hbar^2(k_L + k_R)} \int_0^{b_R} dz' \exp(ik_R z') \Delta V(z') \Psi^L(z', v). \quad (11)
 \end{aligned}$$

Для  $z > b_R$  имеем

$$\Psi^L(z, v) = C^L(v) \exp(ik_R z) + D^L(v) \exp(-ik_R z), \quad (12)$$

где  $D^L = 0$ ;

$$\begin{aligned}
 C^L(v) = & \frac{2k_L}{k_L + k_R} + \frac{m^*}{i\hbar^2 k_R} \int_{b_L}^0 dz' \Big[ \exp(-ik_R z') \\
 & + \frac{k_R - k_L}{k_L + k_R} \exp(ik_R z') \Big] \Delta V(z') \Psi^L(z', v) \\
 & + \frac{2m^*}{i\hbar^2(k_L + k_R)} \int_0^{b_R} dz' \exp(ik_R z') \Delta V(z') \Psi^L(z', v). \quad (13)
 \end{aligned}$$

Соответствующий результат для  $\Psi^R$  будет следующим: для  $z > b_R$

$$\Psi^R(z, v) = C^R(v) \exp(ik_R z) + D^R(v) \exp(-ik_R z), \quad (14)$$

где  $D^R = 1$ ;

$$\begin{aligned}
 C^R(v) = & \frac{k_R - k_L}{k_L + k_R} + \frac{m^*}{i\hbar^2 k_R} \int_0^{b_R} dz' \Big[ \exp(-ik_R z') \\
 & + \frac{k_R - k_L}{k_L + k_R} \exp(ik_R z') \Big] \Delta V(z') \Psi^R(z', v) \\
 & + \frac{2m^*}{i\hbar^2(k_L + k_R)} \int_{b_L}^0 dz' \exp(-ik_L z') \Delta V(z') \Psi^R(z', v), \quad (15)
 \end{aligned}$$

а для  $z < -b_L$

$$\Psi^R(z, v) = A^R(v) \exp(ik_L z) + B^R(v) \exp(-ik_L z), \quad (16)$$

где  $A^R = 0$ ;

$$\begin{aligned}
 B^R(v) = & \frac{2k_R}{k_L + k_R} + \frac{m^*}{i\hbar^2 k_L} \int_{b_L}^0 dz' \Big[ \exp(ik_L z') \\
 & + \frac{k_R - k_L}{k_L + k_R} \exp(-ik_L z') \Big] \Delta V(z') \Psi^R(z', v) \\
 & + \frac{2m^*}{i\hbar^2(k_L + k_R)} \int_0^{b_R} dz' \exp(ik_R z') \Delta V(z') \Psi^R(z', v). \quad (17)
 \end{aligned}$$

Мы получили волновые функции  $\Psi^R$  и  $\Psi^L$ , которые описывают состояния, находящиеся справа и слева от исследуемой структуры, с входным сигналом и отраженной его частью, описанными уравнениями (2) и (4), и прошедшими частями сигнала, описанными выражениями (3) и (5), соответственно. Таким способом можно определить коэффициенты прохождения ( $C^L, B^R$ ) и отражения ( $B^L, C^R$ ) волновых функций  $\Psi^R$  и  $\Psi^L$ . Эти величины могут рас-

сматриваться как элементы матрицы рассеяния-отражения TR:

$$\text{TR} = \begin{vmatrix} B^L & B^R \\ C^L & C^R \end{vmatrix}. \quad (18)$$

С использованием матрицы собственных состояний можно получить  $R$ -матрицу рассматриваемой (см., напр., [5]) системы:

$$R = \Psi'(z, v) \Psi^{-1}(z, v). \quad (19)$$

После чего с помощью соотношений между  $R$ - и  $S$ -матрицами мы можем рассчитать последнюю:

$$S = [R\Psi^+ - (\Psi^+)]^{-1} [R\Psi^- - (\Psi^-)], \quad (20)$$

где  $\Psi^+$  и  $\Psi^-$  – расходящаяся и сходящаяся части соответствующих волновых пакетов [10, 12].

### 3. Исследование квантового диода

Применим развитый выше подход к расчету матрицы рассеяния структуры, потенциал которой изображен на рис.2, – реального квантового диода, находящего широ-кое применение в современной электронике. На рис.3 изображено одно из возможных представлений невозму-

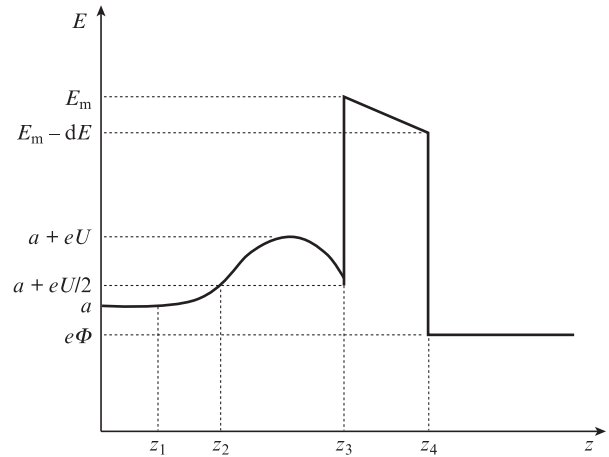


Рис.2. Потенциальная энергия в исследуемом диоде.

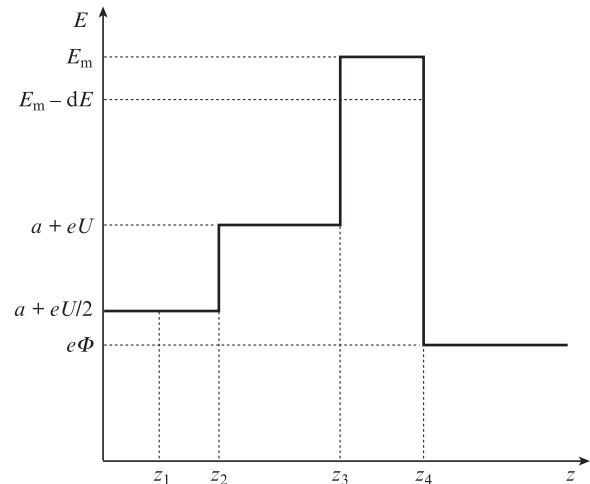


Рис.3. Представление потенциала в отсутствие возмущения.

щенной части данного потенциала. Согласно развиваемому подходу, решим уравнение Шредингера для невозмущенной части и получим волновые функции для каждой рассмотренной области. Далее, используя условия сшивки, найдем амплитуды волновых функций и соответствующие функции Грина. Мы не сочли нужным приводить полученные выражения в тексте данной работы, поскольку они довольно громоздки и могут быть легко рассчитаны в любых математических пакетах. Подставив эти выражения в (2), находим коэффициенты отражения и прохождения для случая возмущенного потенциала, которые, в свою очередь, являются решениями уравнения Липпмана–Швингера в следующей интерпретации. Различие волновых функций начального состояния и волновых функций, полученных после процесса рассеяния, заключается в присутствии дополнительной компоненты, существование которой связано с возмущением  $\Delta V_1(z)$  на интервале  $(z_1; z_2)$ , возмущением  $\Delta V_2(z)$  на интервале  $(z_2; z_3)$  и т.д. После того как найдены волновые функции для каждого интервала, можно построить матрицу  $\hat{\Psi}$  собственных значений волновой функции и матрицу

$$R = \hat{\Psi}'\hat{\Psi}^{-1}. \quad (21)$$

Теперь согласно (20) находим соответствующую матрицу рассеяния. Полученный результат можно применить для описания процесса прохождения волнового пакета с гауссовой огибающей через рассматриваемый диод.

Входной волновой пакет опишем следующим уравнением:

$$\Psi(k) = \exp\left[-\frac{1}{2}a^2(k - k_0)^2\right], \quad (22)$$

где  $a$  – ширина пакета. Расчет выполняется с использованием безразмерных переменных, введенных в работе [6]. Из граничных условий найдем седловые точки интегрального выражения, приведенного в работе [7], считая, что пакет будет наблюдаться через достаточно большой промежуток времени. Прошедший через систему волновой пакет будет представлен в виде суперпозиции пакетов для всех удовлетворяющих граничным условиям седловых точек. После того как этот пакет рассчитан, можно найти аргумент его волновой функции. Этот аргумент связан с аргументом волновой функции входного пакета и отличается от него только некоторым фазовым фактором, зависящим от кинетической энергии входного пакета, потенциальной энергии барьера и времени задержки. Отсюда вычисляется время задержки как производная от аргумента волновой функции по энергии (см., напр., [5]):

$$\Delta t = \frac{d \arg \Psi}{dE}. \quad (23)$$

Аргумент волновой функции прошедшего пакета представлен на рис.4. Зависимости времени задержки от параметров системы и импульса представлены на рис.5 и 6. Видно, что для некоторых значений импульса входного волнового пакета наблюдается минимальное время задержки, что соответствует максимальной скорости туннелирования данного пакета через рассматриваемый диод. Дальнейшее изменение импульса не приводит к уменьшению времени задержки. При достижении некоторого значения увеличение импульса не отражается существенно образом на времени задержки пакета.

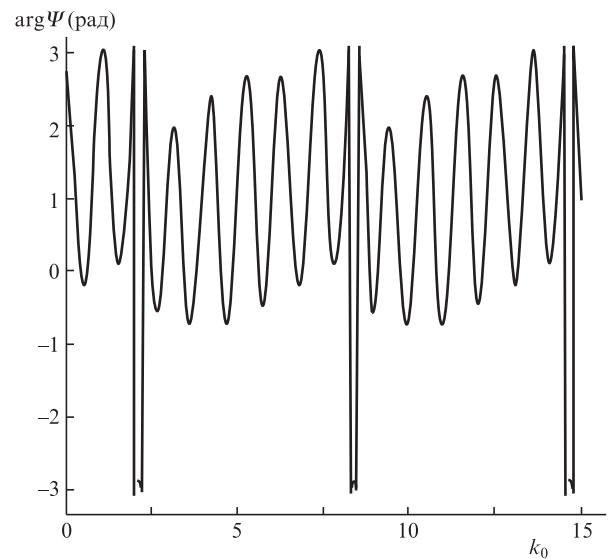


Рис.4. Аргумент волновой функции пакета при  $\Gamma = 1$  и волновых числах  $k_1 = 1, k_2 = 1, k_3 = 2, k_4 = 5$  и  $k_5 = 1$ , соответствующих интервалам на оси  $z$  на рис.2, 3.

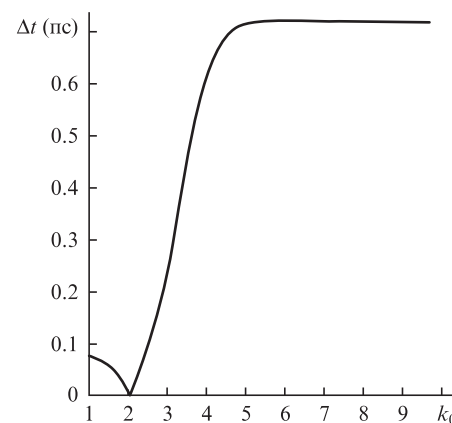


Рис.5. Время задержки пакета  $\Delta t$  для системы при  $\Gamma = 1$  и волновых числах  $k_1 = 1, k_2 = 1, k_3 = 2, k_4 = 5$  и  $k_5 = 1$ .

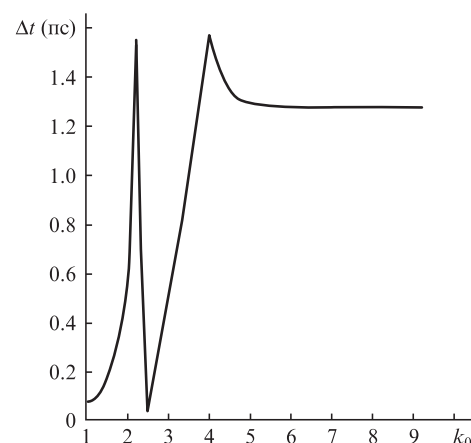


Рис.6. Время задержки пакета  $\Delta t$  для системы при  $\Gamma = 1$  и волновых числах  $k_1 = 1, k_2 = 3, k_3 = 4, k_4 = 4$  и  $k_5 = 1$ .

## 4. Заключение

В настоящей работе исследовано время задержки пакетов в квантовом диоде. Детально изучено движение волнового пакета с гауссовой огибающей не через гипотети-

ческую, а через реально существующую и используемую на практике квантовую структуру с резонансными уровнями. Расчеты показывают, что при некоторых значениях параметров системы и пакета наблюдается полное внутреннее рассеяние. Это означает, что прошедший пакет отсутствует и время задержки бесконечно. Специфическое поведение наблюдаемой зависимости времени туннелирования от параметров системы и пакета может найти применение на практике. Как было указано во Введении, проблема резонансного туннелирования через открытую квантовую систему не была решена в общем виде. Поэтому полученные результаты могут быть использованы в микроэлектронике для подбора оптимальных параметров пакета для рассматриваемых систем. Развитый метод универсален и позволяет изучать процесс туннелирования волновых пакетов с различной формой огибающей через произвольные квантовые системы с резонансными уровнями. Одним из дальнейших приложений разработанного метода является обобщение его на электромагнитные им-

пульсы и классические резонансные системы. Эта проблема будет рассмотрена в наших последующих работах.

1. Van der Wiel W.G., De Franceschi S., Elzerman J.M., Fujisawa T., Tarucha S., Kouwenhoven L.P. *Rev. Mod. Phys.*, **75**, 17 (2002).
2. Stone A.D., Lee P.A. *Phys. Rev. Lett.*, **54**, 1196 (1985).
3. Jiang Z.T., Sun Q.F. *J. Phys. Condens. Matter*, **19**, 156 (2007).
4. Condon E.U., Morse P.M. *Rev. Mod. Phys.*, **3**, 43 (1931).
5. Razavy M. *Quantum Theory of Tunneling* (Singapore: World Scientific, 2003, pp351–375).
6. Wulf U., Skalozub V.V., Zaharov A. *Phys. Rev. B*, **77**, 045318 (2004).
7. Ivanov N.A., Skalozub V.V. *Theor. Math. Phys.*, **168**, 1096 (2011).
8. Ivanov N.A., Skalozub V.V. *Probl. Atom. Sci. Technol.*, **1**, 292 (2012).
9. De Alfaro V., Regge T. *Potential Scattering* (University of Turin, 1965).
10. Racec P.N. *Ph.D. Thesis* (Cottbus, University of Technology, 2002).
11. Brillouin L. *Wave Propagation and Group Velocity* (New York: Academic Press, 1960).
12. Barut A.O. *The Theory of the Scattering Matrix* (New York: Macmillan, 1967).